高強度帯鉄筋を用いたコンクリートの横拘束効果についての一考察

東日本旅客鉄道 (株) 東日本旅客鉄道(株)

東日本旅客鉄道(株)

東北工事事務所 東北工事事務所 正会員 正会員 正会員

○堀内 俊輔 紗希子 高橋 伸一 田附

東日本旅客鉄道(株)

東北工事事務所 東北工事事務所

フェロー会員

岩田 道敏

1. はじめに

当社では、新設する 鉄道ラーメン高架橋鉄 筋コンクリート (以下, RC) 柱の軸方向鉄筋の 内側に, 円形スパイラ ル状の鋼材(以下、内 巻き帯鉄筋)を部材端 部に配置することで, 変形性能を向上してい る. 1) (**図-1**) これは軸

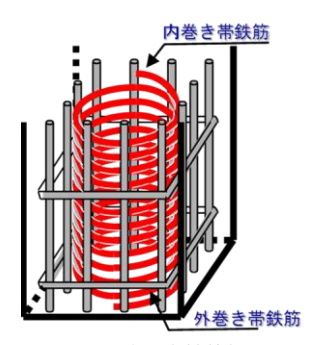


図-1 内巻き帯鉄筋概要図

方向鉄筋のはらみ出しにより、帯鉄筋のフックが外れた とで、一定の耐力を保持し続けるものである.

の拘束効果の把握を目的とした. 堺 2)らは、横拘束筋の はSD295Aの円形帯鉄筋を使用した一軸圧縮試験から定 断していた. めたものであり、当社で使用している内巻き帯鉄筋は、 SBPDN1275/1420(以下,高強度鉄筋)の円形スパイラル 状の鉄筋であり、強度と形状が異なる. 本研究では、円 形スパイラル状の高強度鉄筋で拘束した円形断面供試体 の一軸圧縮試験を行った. 本稿では、その実験結果につ いて報告する.

2. 実験の概要

実験に用いた供試体の諸元および材料試験値を表-1に 示す. No.1, 2 では SD295A 鉄筋を使用し、鉄筋形状のみ 帯鉄筋,スパイラル筋と変化させ,その影響を比較する. No.3~9 はスパイラル筋を使用しており、No.3、4 は

SD295A 鉄筋を使用し、他供試体 は全て高強度鉄筋を使用する. No.3~9 では供試体寸法を変化さ せている. No.9 を図-2 に示すが、 No.9のみ横拘束筋間隔を30mmと している. 実験方法は、鉛直ジャ ッキにより上部から載荷し、載荷 点荷重, 載荷点変位, コンクリー トひずみ、横拘束筋ひずみを測定した.

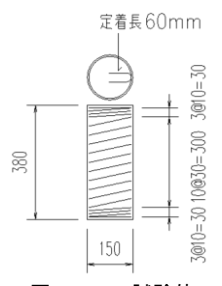


図-2 No.9 試験体

3. 実験結果

3.1 鉄筋形状の比較

帯鉄筋を使用した No.1 とスパイラル筋を使用した 後も、内巻き帯鉄筋で拘束された内側のコンクリート(以 No.2 の応力ひずみ関係を図-3 に示す. 参考文献 2)より算 下, コアコンクリート) が断面内の圧縮力を維持するこ 出した計算値を併せて示す. No.1, 2 では, コンクリート の圧縮強度が異なるため、最大軸方向応力は異なるが、 本研究では、圧縮力維持に寄与している内巻き帯鉄筋 応力ひずみ関係は同様の傾向を示している、スパイラル 筋を用いた場合も計算値の適用が可能であることがわか コンクリートに対する拘束効果を定式化している.これ る.また実験終了時の試験体は、どちらも横拘束筋が破

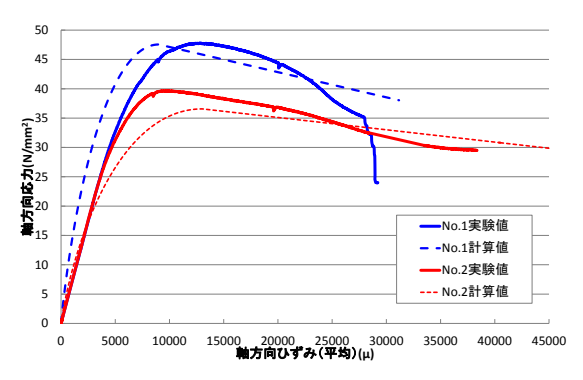


図-3 No.1,2 の応力ひずみ関係

表-1 供試体諸元・材料試験値

供試	直径	高さ	コンクリートの	横拘束筋						
体名	d' (mm)	h (mm)	圧縮強度	材料	形状	直径	間隔	横拘束筋	降伏強度	降伏ひずみ
			σ_{c0} (N/mm 2)			ϕ (mm)	s (mm)	体積比ρ _s	σ_{sy} (N/mm 2)	$arepsilon_{ ext{sy}}$ (μ)
No. 1	300	740	33. 5	SD295A	帯		20	0. 023	392.6	2059. 3
No. 2			21.3			6. 0				
No. 3	200	500	22. 0		スパイラル			0. 035		
No. 4	150	380						0.045		
No. 5	200	500	21. 2	SBPDN 1275/1420		6. 2		0.033	1435. 6	7244. 4
No. 6	150	380	22. 0					0. 043		
No. 7			16.1							
No. 8			43.0							
No. 9							30	0. 029		

キーワード: コンクリート,帯鉄筋,高強度鉄筋,拘束効果

連絡先:〒980-8580 仙台市青葉区五橋一丁目1番1号 東日本旅客鉄道(株)東北工事事務所 TEL 022-266-3713

3.2 スパイラル筋強度の比較

SD295A 鉄筋を使用した No.3 と高強度鉄筋を使用した No.5 の応力ひずみ関係を図-4 に示す. No.3, 5 では、コ 果を図-8 に示す. ここで、 σ_{cc} は横拘束されたコンクリ ンクリートの圧縮強度に大きな差はない。しかし、横拘 東筋に高強度鉄筋を用いた No.5 の最大軸方向応力が, No.3 に比べ、大幅に増加していることがわかる。また、 実験値と計算値を比較すると、高強度鉄筋を使用した No.5 では、軸方向応力の最大が計算値と大きく乖離する 結果となった.

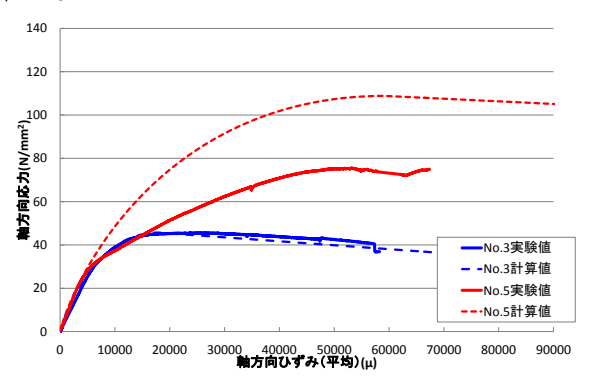


図-4 No.3,5 の応力ひずみ関係

3.3 横拘束筋のひずみ

高強度鉄筋を使用した No.5~9 の横拘束筋の応力ひず み関係を図-5に示す. 横拘束筋のひずみは, 供試体 1/4, 1/2, 3/4 高さで測定したうち最大値を示している. No.5 ~9では、測定した横拘束筋ひずみが、高強度鉄筋の降 伏ひずみに達しておらず、横拘束筋は降伏していない.

SD295A 鉄筋を使用した No.1~4 全ての横拘束筋ひず みは、SD295A 鉄筋の降伏ひずみを超える結果であった (図-7).

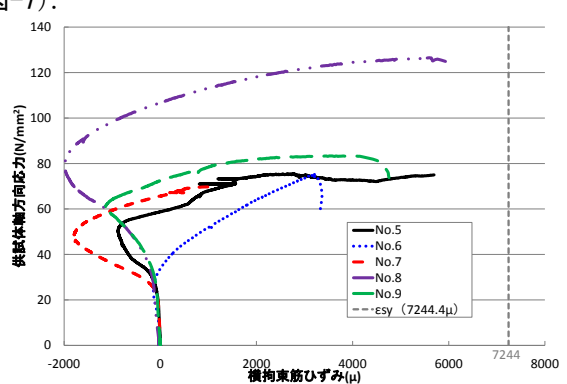


図-6 No.5~9 横拘束筋の応力ひずみ関係

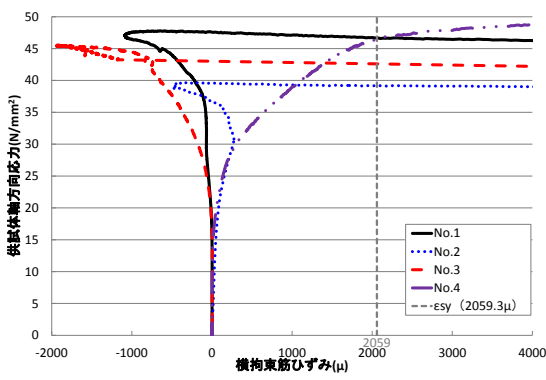


図-7 No.1~4 横拘束筋の応力ひずみ関係

$3.4 \quad \sigma_{cc}/\sigma_{c0}\sim C$ 関係

全供試体を σ cd/σ co~横拘束効果係数 C2)で整理した結 ートの最大圧縮応力度, C は横拘束筋の断面積, 間隔, 降伏強度等から求められる係数である.

$$C = \frac{\kappa_s \sigma_{lu}}{\sigma_{c0}}$$

$$\kappa_s = 1 - \frac{s}{d} \quad , \quad \sigma_{lu} = \frac{2A_h \sigma_{sy}}{sd}$$

ここで, d: コアコンクリート (横拘束筋より内側の コンクリート)の直径 (mm)

A_h: 帯鉄筋 1 本あたりの断面積 (mm²)

 $0.6 < \sigma_{cc} / \sigma_{c0} < 1.8$, 0 < C < 0.2 の範囲において, $\sigma_{cc} /$ σ_{co} と C が線形関係になることが確認されており, SD295A 鉄筋供試体では、精度よく評価できている.

それに対し、高強度鉄筋供試体は σ_{cc}/σ_{c0} が計算値よ り小さくなる傾向にあり,実験値が計算値とは異なる傾 きを持つことがわかる. また No.7 のように, C が大き い試験体では、横拘束筋のひずみが小さいことがわかる. (図-6).

SD295A 鉄筋では、横拘束筋が降伏するのに対し、高 強度鉄筋では、横拘束筋が降伏せず、計算値と実験値は 乖離する結果となった.

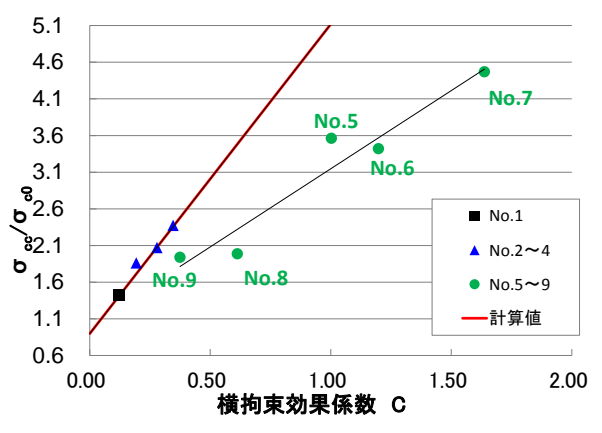


図-8 σ_{cc}/σ_{c0} ~C 関係

4. まとめ

本研究では、内巻き帯鉄筋の拘束効果把握のため、円 形スパイラル状の高強度鉄筋で拘束した円形断面供試体 の一軸圧縮試験を行い、以下の知見が得られた.

- ・No.1,2の実験結果より、横拘束筋をスパイラル形状と しても、計算式が適用可能である.
- 横拘束筋に高強度鉄筋を用いた場合、鉄筋が降伏せず、 参考文献2)とは異なる σ_{cc}/σ_{c0} ~C関係となると考えられ る.

参考文献

- 1) 東日本旅客鉄道株式会社(2005),『鉄道構造物等設計標準(コンクリ ート構造物)のマニュアル』
- 2) 堺他:コンクリートの横拘束効果に及ぼす横拘束筋の配置間隔と中 間帯鉄筋の影響,土木学会論文集 No.717/ I -61,pp91-106, 2002.10